

Vysoká škola strojní a textilní Liberec Katedra: materiálu a tváření
Fakulta: strojní Školní rok: 1967/68

DIPLOMNÍ ÚKOL

pro Jiřího Nováka

odbor strojírenská technologie

Protože jste splnil požadavky učebního plánu, zadává Vám vedoucí katedry ve smyslu směrnic ministerstva školství a kultury o státních závěrečných zkouškách tento diplomní úkol:

Název tématu: Stanovte diagramy rychlosti přeměny $\alpha \rightarrow \gamma$ a tvorby austenitu v oceli 12 080 při vysokofrekvenčním indukčním ohřevu na zařízení KMT

Pokyny pro vypracování:

1. Teorie fázových přeměn v tuhém stavu
2. Kinetika austenitisace
3. Měření na zařízení KMT
4. Vyhodnocení naměřených dilatometrických záznamů
5. Struktury význačných stadií dosažených přeměn
6. Tvrdosti význačných stadií dosažených přeměn
7. Vyhodnocení případně porovnání s výsledky jiných druhů ocelí

Autorství právo se řídí směrnicemi MŠK pro státní závěrečné zkoušky č. j. 31 727/62-III/2 ze dne 13. července 1962-Vestník MŠK XVIII, sestřit 24 ze dne 31. 8. 1962 § 19 autorstvího zákona č. 115/53

VYSOKÁ ŠKOLA STROJNÍ A TEXTILNÍ
Ústřední knihovna
LIBEREC 1, STUDENTSKÁ 5

V. 139/1968 S

Rozsah grafických laboratorních prací:

Rozsah průvodní zprávy: 40 - 45 stran

Seznam odborné literatury:

1. JAREŠ, V.: Metalografie neželezných kovů. Nakl. ČSAV, Praha 1955
2. JAREŠ, V.: Metalografie ocele. Nakl. ČSAV, Praha 1960.
3. PÍŠEK, F.: Nauka o materiálu I. Nakl. ČSAV, Praha 1957.
4. PÍŠEK, F.: Nauka o materiálu II/2. Nakl. ČSAV, Praha 1957.
5. PÍŠEK, F.-JENÍČEK, L.-RYŠ, P.: Nauka o materiálu I. Nakl. ČSAV, Praha 1966.
6. PLUHAR, J.-KORITTA, J.: Strojírenské materiály SNTL/SVTL, Praha 1966.
7. KORÍNEK, M.: Problémy rychlých ohřevů oceli a automatizace strojírenské výroby. "Strojírenství" I. 1964, str. 35

Vedoucí diplomní práce:

Doc. Ing. Miroslav Kořínek CSc

Konsultanti:

Ing. František Groh

Datum zahájení diplomní práce:

15. prosince 1967

Datum odevzdání diplomní práce:

17. června 1968



Doc. Ing. Miroslav Kořínek CSc
Vedoucí katedry

Prof. Ing. Cyril Höschl
Děkan

v Liberci dne 7. prosince 1967

VŠST Liberec

Fakulta strojní

1

Katedra KMT

D.P. ST/651/68

D I P L O M O V Á P R Á C E

O B S A H

ÚVOD	str. 3
TEORIE FÁZOVÝCH PŘEMĚN A KINETIKA AUSTENITIZACE ...	str. 5
DIFUSE V KOVECH	str.12
DILATOMETRIE	str.16
POPIS ZARIŽENÍ A ZPŮSOB MĚŘENÍ.....	str.18
VLASTNOSTI A POUŽITÍ PŘIDĚLENÉ OCELI-.....	str.27
VYHODNOCENÍ.....	str.28
DISKUSE VÝSLEDKŮ.....	str.43
PŘÍLOHOVÁ ČÁST.....	str.47
ZÁVĚR.....	str.53
SEZNAM POUŽITÉ LITERATURY...	str.54
SEZNAM PŘÍLOH	str.55
GRAFY	

ÚVOD

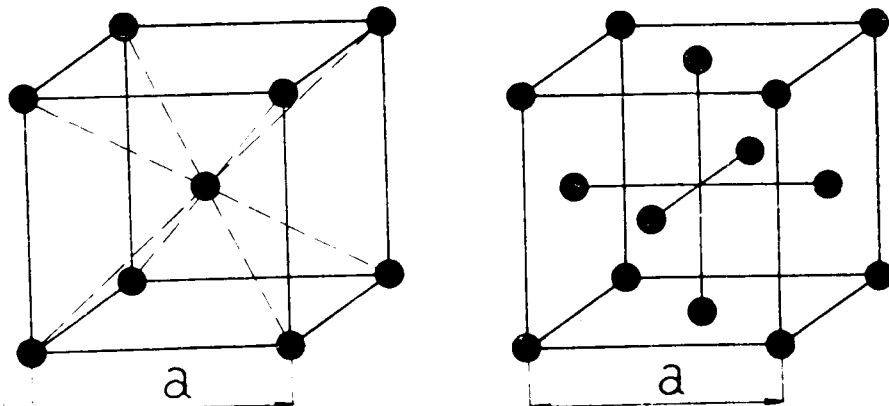
Neustálé zvyšování životní úrovně vyvíjí tlak na národní hospodářství, které se s tímto faktem musí nějakým způsobem vyrovnat. Nejlepším způsobem, jak zajistit zvýšení výroby, je zvýšení produktivity práce s co nejmenšími náklady na novou investiční výstavbu a bez dalšího zvyšování počtu pracovníků. To znamená, že je bezpodmínečně nutno zavádět do výroby nejmodernější prvky a to na úseku organizace výroby, technologie, automatizace a mechanizace. Zvláště automatizace výroby je velmi důležitá, neboť se výroba zrychluje, zlevňuje a podíl lidské práce se zmenšuje na minimum. Na úseku obráběcích pochodů je automatizace poměrně propracovaná a zavádí se v našich strojírenských podnicích do výroby, hlavně v poslední době, v širším měřítku. Jsou to například obráběcí stroje řízené počítačem nebo filmovým či magnetofonovým páskem, celé speciální automatické linky apod. Na rozdíl od toho u procesů, při kterých je nutné tepelné zpracování /ohřev na kovací teplotu, žihání, kalení apod./ se automatizace dosud neprosadila a ještě nyní se vyskytuje, dá se říci, ojediněle. Jedná se prakticky o ohřevy vyššími rychlostmi, řádově 100 až $1000^{\circ}\text{C}/\text{sek}$. Ohřev vysokými rychlostmi se totiž při tepelném zpracování kovů ukazuje velmi výhodným. Nejde zde pouze o zkrácení času potřebného k ohřevu /a tato úspora je značná/, ale rychloohřev má příznivý vliv na jakost materiálu. Při ohřevu vysokými rychlostmi nedochází k okysličení materiálu, neobjevuje se zde povrchové odumílení, nebo jen v malé míře, nedochází ke zhrubnutí zrna apod. K realizaci rychlého ohře-

vu je možno použít trubkových nebo tunelových pecí, ohřevu v solných lázních, odporového ohřevu nebo indukčního ohřevu.

Použití indukčního ohřevu nabývá stále na významu. Má totiž mnoho předností, pro které se doporučuje. Je to například možnost regulace rychlosti ohřevu v širokých mezích, čistota provozu, pohotovost, možnost snadného dávkování energie a v neposlední řadě i velká úspora času. Lze uvést některé speciální případy použití indukčního ohřevu, jako je třeba válcování vrtáků za tepla, ohýbání trub velkých průměrů apod. V těchto případech je použito indukčního ohřevu a to s velkým úspěchem. Při použití tohoto způsobu ohřevu dosud nebyla dostatečně propracována problematika změn, které v materiálu nastávají. Se zřetelem k očekávanému vývoji automatizace bude nutno děje při rychlém ohřevu důkladně studovat a přizpůsobit pak ocele, přicházející v úvahu, specifickým požadavkům nové technologie.

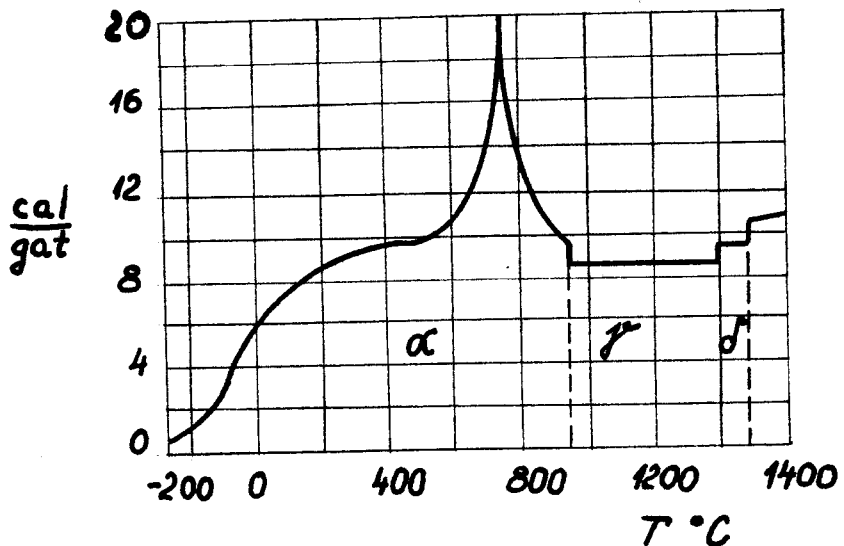
TEORIE FÁZOVÝCH PŘEMĚN A KINETIKA AUSTENITIZACE.

Problematika fázových přeměn kovů a jejich slitin je pro technickou praxi velmi důležitá. Také při tepelném zpracování je nutno znát tyto přeměny. Ohříváme-li čisté železo v tuhém stavu, pak na křivce závislosti teplota-čas najdeme čtyři prodlevy. Při teplotě 769°C , 910°C , 1392°C , a při teplotě 1539°C . Teplota 1539°C je udávána jako bod tání čistého železa. Další 3 prodlevy, probíhající v tuhém stavu, byly považovány za teploty překrystalizační a vzniklé modifikace byly označeny α , β , γ , δ . Přitom platí, že překrystalizační teploty při ohřevu a při ochlazování nejsou stejné. Tento teplotní rozdíl se označuje, jako termická hysteréma. Později bylo na základě ohybu rentgenových paprsků dokázáno, že modifikace α , β , δ mají zcela stejnou stavbu krystalové mřížky. Je to krychlová mřížka tělesně středěná /stereocentrická/ s devíti atomy. Na rozdíl od toho je krystalová mřížka modifikace γ středěná plošně /planicentrická/ se čtrnácti atomy a rovněž krychlová, obr. 1. Parametry mřížky α se uvádí za normální teploty $2,86\text{\AA}$ a mřížky γ $3,66\text{\AA}$ /Jareš/. Protože existují pouze dvě modifikace železa, tak prodleva při 769°C nemůže být spojována s překrystalizací, ale jde o diskontinuální změnu specifického tepla. Zároveň s touto změnou dochází ke ztrátě feromagnetických vlastností. Teplota, při které k tomuto jevu dochází, se nazývá Curieho bod. Závislost atomového tepla na teplotě je uvedena na obr. Z téhož obrázku je patrno, že ke ztrátě feromagnetických vlastností nedochází v jednom bodě, ale v intervalu teplot i když tento interval je malý.



obr.č.1 Krystalická mřížka železa α a γ .

Nejrychlejší pokles se jeví při teplotě 769°C . Z obrázku je též patrné, že při fázové přeměně dochází na křivce ke skokovým změnám, při konstantní teplotě, např. při přeměně $\alpha - \gamma$.

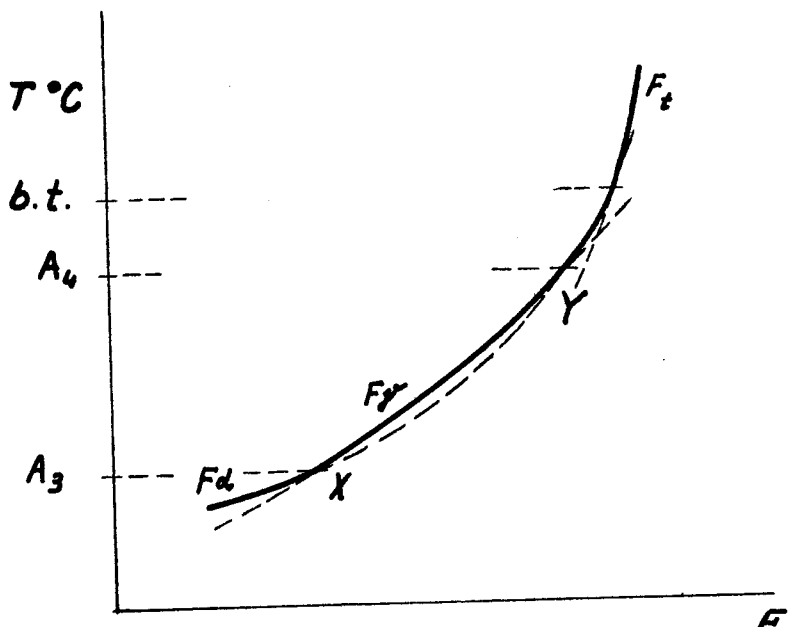


obr.č.2 Graf závislosti specifického tepla na teplotě.

Otázkou je, proč modifikace stabilní za vyšší teploty se dalším ohřevem mění v modifikaci, která byla stabilní již při teplotě nižší. Proč se α změní v β a při teplotě vyšší zase $\beta - \delta$. Podle Jareše je tento jev vysvětlen takto. Každá soustava směřuje k rovnovážnému stavu, ve kterém je její volná energie co nejménší. Volnou energii u kovů definujeme obvykle podle Helmholtze rovnici

$$F = U - TS$$

F je volná energie, U je celková vnitřní energie, T je absolutní teplota a S je entropie. Schema změn volné energie s teplotou znázorňuje obr. č. 3.



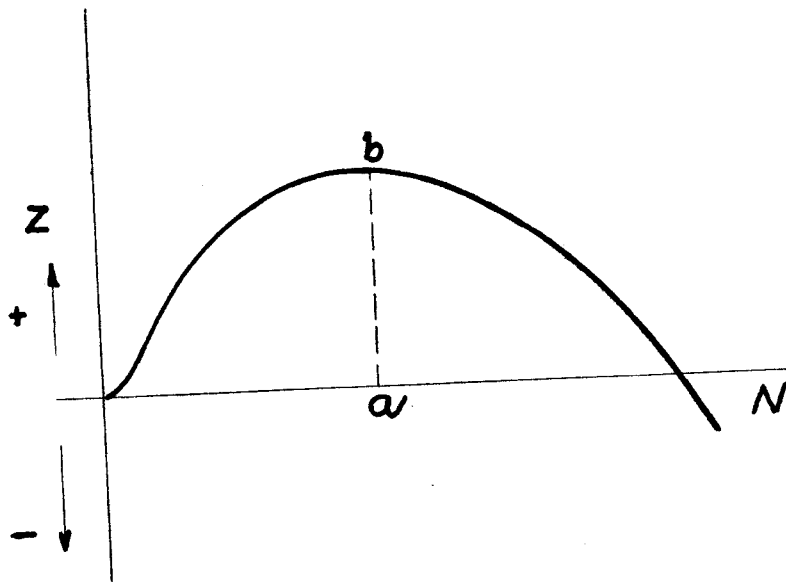
obr. č. 3 Graf závislosti volné energie železa na teplotě.

Průsečíky čáry F_d a F_f , které znázorňují volnou energie modifikací, se protínají ve dvou bodech X, Y. Teploty těchto bodů jsou překrystalizačními teplotami A_3 , A_4 a průsečík čáry F_f s F_t je bodem tání čistého železa.

Z obrázku vidíme, že mezi teplotami A_3 a A_4 je volná energie fáze γ menší a tudíž v tomto rozmezí bude tato fáze stabilnější. Fáze α bude stabilní do bodu A_3 a od bodu A_4 až do bodu tání. V bodech společných oběma křivkám mohou existovat obě modifikace společně.

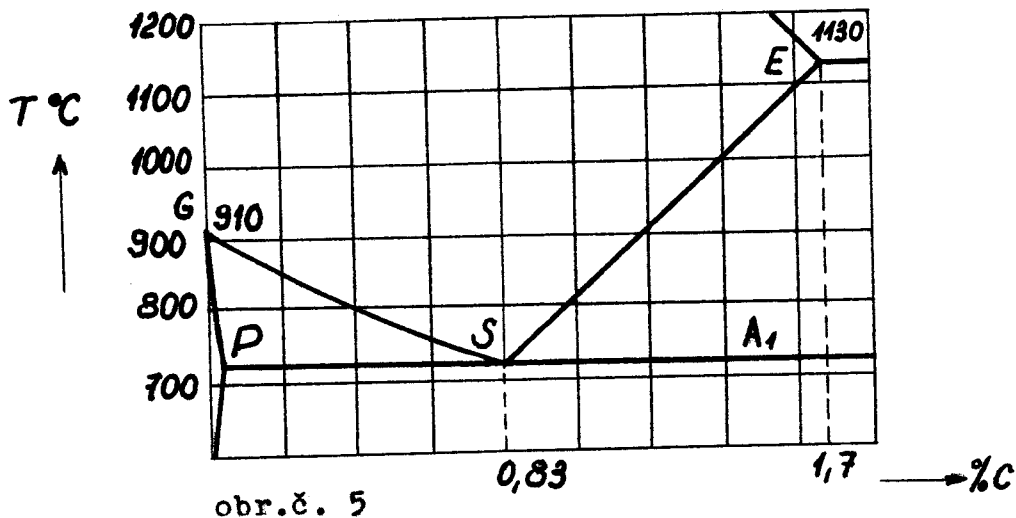
Mechanismus překrystalizace oceli.

Předpokladem překrystalizace jedné modifikace v druhou je nerovновážný stav. Při ohřevu krystalu α se musí nejdříve vytvořit zárodky fáze γ . K tomu je potřebí teploty vyšší, než je teplota rovnovážná a určité volné energie. Tyto zárodky musí dosáhnout tzv. kritické velikosti, která je nutná k dalšímu jejich růstu. Pokud této velikosti nedosáhnou mohou růst pouze spotřebou volné energie. Na obr.4 je označena kritická velikost jako a , na pořadniči N je poloměr jádra a na úsečce Z změna volné energie.



obr.č.4 Růst krytalizačního zárodku.

Podívejme se nyní, jak tento jev vypadá ve skutečnosti. Jesliž zahříváme vzorek, tak při určité teplotě T , která je nad teplotou přeměny A_1 , se počnou na rozhraní feritu a cementitu tvořit zárodky austenitu. Tyto zárodky mohou obsahovat těsně nad teplotou přeměny A_1 až 0,9% C. Můžeme říci, že jsou uhlíkem nasyceny. Při teplotě vyšší než je teplota přeměny A_1 může být koncentrace uhlíku v austenitu v rozmezí, které je ohrazeno body GSE v diagramu železo - karbid železa. Obr. č. 5

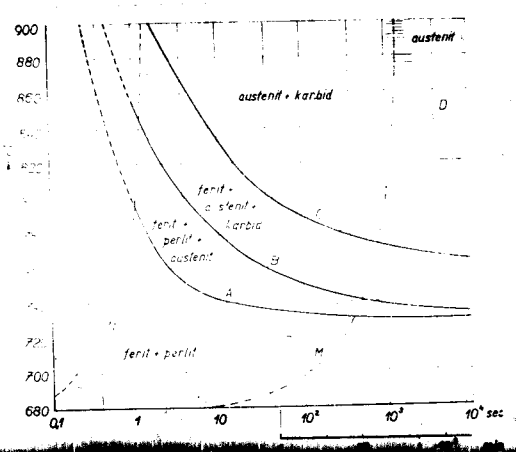


Jako u každé činnosti, která se skládá z více pochodů, tak i zde se projevuje řídící vliv pochodu, který probíhá nejpomaleji. Sledujeme-li přeměnu γ , vidíme, že ferit se změní v austenit daleko dříve, než skončí rozpouštění cementitu. Z toho plyne, že rozpouštění cementitu bude řídícím dějem. Po rozpouštění cementitu ještě austenit nemá rovnoměrné složení, není homogenní. To znamená, že bezprostředně po rozpouštění cementitu není možno dosáhnout, po zahřelení v celém kusu homogenní martensitické struktury. Je to způsobeno tím, že ne všechny partie jsou dostatečně bohaté na uhlík. Abychom dosáhli vyrovnaného obsahu uhlíku

v austenitu, musíme dálé zvýšit teplotu. Tvorba austenitu tedy probíhá při teplotách vyšších, než jsou body přeměny a to ve třech etapách.

1. Přeměna perlitu v austenit
2. Rozpuštění zbytkových karbidů
3. Homogenizace austenitu

Všechny tyto etapy závisí úzce na teplotě, přičemž je nutno s absolutní výší teploty brát v úvahu i rychlosť ohřevu a dobu výdrže na této teplotě. To znamená, že se zvyšující se rychlosť ohřevu musíme zvýšit i teplotu. Vliv teploty na rychlosť austenitizace studoval dilatometricky Rose. Jedním z výsledků jeho měření je diagram na obrázku č. 6.



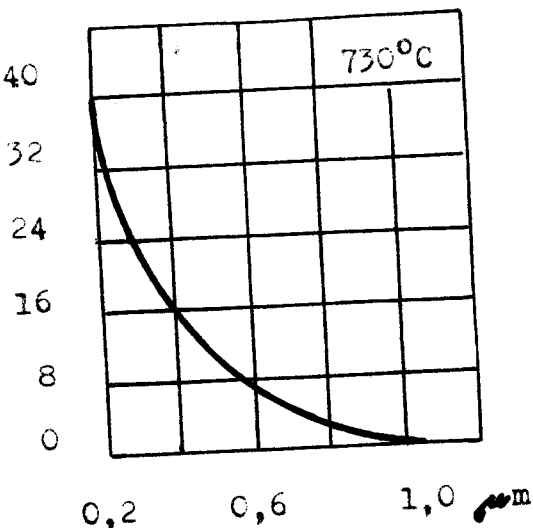
obr. č. 6 Závislost doby trvání přeměny na teplotu.

Na úsečku je nanášena teplota a na pořadnici čas.

Z diagramu výplývá, že překrystalizace nastává při vyšších teplotách daleko dříve, než při teplotách nízkých.

Vliv velikosti zrna.

Je to jeden z dalších činitelů, majících vliv na rychlosť austenitizace. Pro eutektoidní ocel řešil tento problém Kidin. Všeobecně se dá říci, že hrubší zrno snižuje rychlosť přeměny. Tato závislost je na obr. č. 7.

$^{\circ}\text{C}/\text{sek.}$ 

obr. č. 7

Vliv chemického složení.

Tento problém, s výjimkou vlivu uhlíku, nebyl ještě dostatečně prozkoumán. Dá se ale předpokládat, že je značný. Jareš uvádí, že karbidotvorné prvky, které tvoří stabilní karbidy, zejména W, Mo, V, zpožďují rozpouštění karbidů v austenitu.

Vliv rychlosti ohřevu.

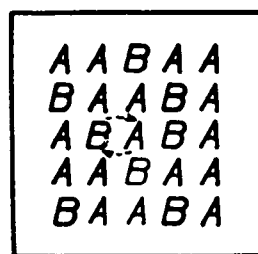
Ani tento vliv nebyl dosud systematicky studován, ale pravděpodobně s vyššími rychlosťmi ohřevu se teplota překrystalizace posouvá k vyšším hodnotám.

Je zřejmé, že problém austenitizace je poměrně složitý a se stává z mnoha činitelů, které se na něm podílejí větší či menší měrou. Největší vliv má difusní pochod, který je podrobněji popsán v další kapitole.

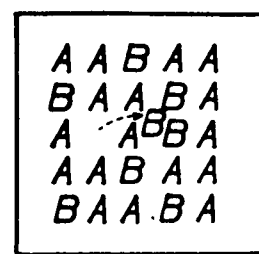
DIFUSE V KOVECH

Difusí rozumíme migraci elementárních částic dvou látek. Jde-li o elementární částice téhož druhu, mluvíme o samodifusi. Podstatou samodifuse je vyrovnání kinetických energií tepelného pohybu jednotlivých atomů. V případě difuse v soustavách s různým chemickým složením jde o vyrovnání koncentračních rozdílů ve směru koncentračního spádu. Je známo, že v tuhých látkách jsou atomy pevně fixovány v určitých místech prostorové mřížky. Aby mohl atom této své místo opustit, musí disponovat určitou energií, která překoná síly, kterým je držen ve své poloze. Kromě toho je známo, že mřížka není nikdy dokonalá, že existují místa atomy neobsazená a kromě toho mohou být celé části mřížky vůči sebě posunuty, což také umožňuje průběh difuse.

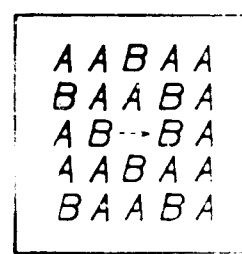
Na obrázku č. 8 jsou tři možné způsoby difuse.



a



b



c

obr.č. 8 Schema tří možných mechanismů difuse.

Tři možné způsoby difuse

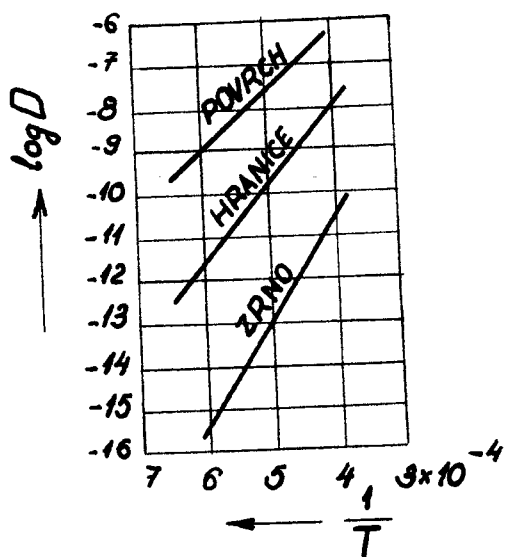
1. Dva atomy AaB změní vzájemně místa. Obr.č. 8a
2. Atomy B mohou difundovat do intersticiálních poloh základní mřížky atomů A. Obr.č. 8b
3. Atomy B mohou difundovat základní mřížku atomů A v důsledku existenze vakantních míst. Obr.č. 8c

ad.1 Zdá se, že tento způsob je těžko proveditelný, neboť pro vzájemné přemisťování atomů v tuhé mřížce by bylo potřeba příliš velikých sil.

ad.2 Nejznámějším případem je difuse uhlíku v železe.

ad.3 Vakantrní místa vznikají zpravidla na povrchu a šíří se dovnitř krystalu.

Jak již bylo řečeno, jsou v mřížce vakantrní místa, usnadňující difusi. Tyto nedokonalosti jsou větší na povrchu a na hranicích zrn, než ve vlastní mřížce a proto bude difuse probíhat na povrchu a na rozhraní zrn rychleji, než vlastními zrny. Průběh difuse povrchem, hranicemi zrn a zrny je na obr.č. 9.



obr.č. 9 Průběh difuse
zrny, hranicemi zrn
a povrchem.

Rychlosť difuse se vyjadřuje pomocí koeficientu difuse takto

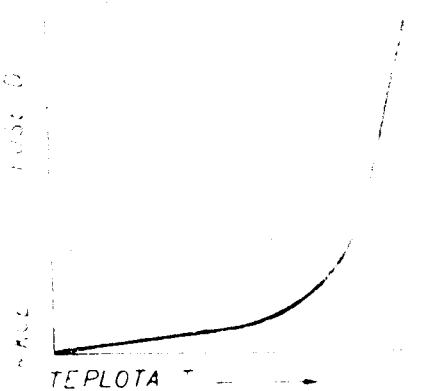
$$dm = - SD \frac{de}{dx} dt$$

dm značí množství látky difundující v čase dt povrchem S , který leží mezi uvažovanými body a jehož hraniční plochy jsou kolmé k ose prutového tělesa. Konstanta D je koeficient difuse a závisí na teplotě a koncentraci. Rozměr koeficientu difuse je cm^2/sek . Závislost koeficientu difuse na teplotě je na obr. č. 10.

Na rychlosť difuse má vliv řada činitelů, které můžeme rozdělit do tří skupin.

1. Vnější podmínky difuse
2. Stav a vlastnosti základního kovu
3. Vztah mezi difundujícími látkami

ad.1 Z vnějších podmínek ovlivňuje difusi nejvíce teplota. Jak již bylo v předchozím textu podotknuto, závislost koeficientu difuse na teplotě je na obr. č. 10



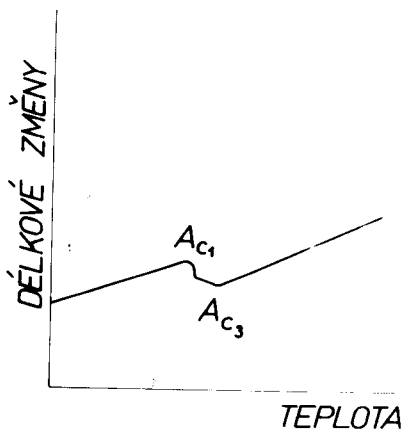
obr. č. 10 Závislost koeficientu difuse na teplotě.

ad.2 Rozdílná rychlosť difuse mřížkou krystalů a hranicemi zrn způsobuje, že difuse probíhá rychleji v kovech o jemnězrnné struktuře, než v kovech o struktuře hrubozrnné. Většinou platí, že legováním se koeficient difuse zmenšuje.

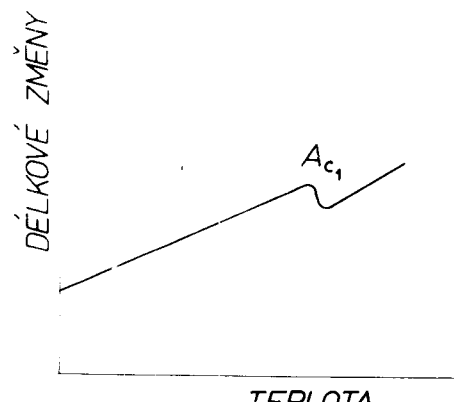
ad.3 Z uvedeného mechanismu difuse vyplývá, že přemístění atomů je nejobtížnější při samodifusi. Difuse cizích látek v základním kovu je tím snazší, čím vzdálenější jsou oba prvky v periodické soustavě, čím větší je rozdíl počtu valenčních elektronů a čím větší je rozdíl velikosti atomů. U prvků, jež tvoří ve značném rozmezí substituční tuhé roztoky, je difuse pomalá. Poměrně snadná je difuse prvků, jež tvoří intersticiální tuhý roztok se základním kovem. Velmi malá velikost atomů difundujícího prvku, proti atomu základního prvku, usnadňuje jeho rychlé pronikání meziuzlovými polohami základní mřížky. Koeficient difuse rovněž ovlivňuje koncentrační spád.

DILATOMETRIE

Dilatometrická analýza je jednou z metod sledování fázových přeměn. Jak již bylo dříve řečeno, je parametr modifikace $\alpha = 2,86 \text{ \AA}$ a parametr modifikace $\beta = 3,66 \text{ \AA}$. Na krychli této velikosti připadají u železa α dva atomy a u železa β čtyři atomy. Bylo spočítáno, že při ohřevu na teplotu přeměny $\alpha \rightarrow \beta$ dochází k náhlé lineární kontrakci 0,22%. Tento poznatek je základem tzv. dilatometrické analýzy. Náhlá lineární kontrاكce určuje na křivce tepelné dilatace začátek austenitizace oceli.

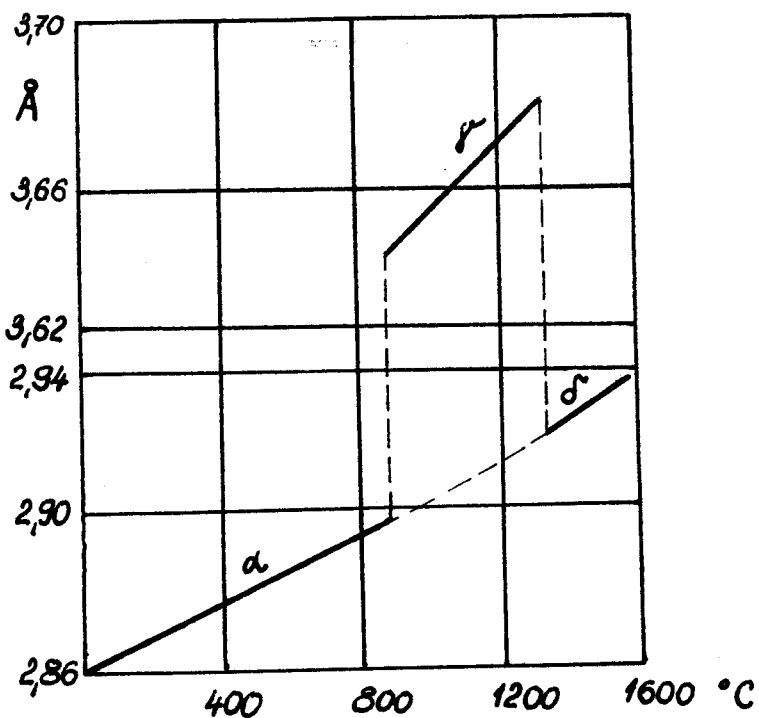


obr.č. 11a



obr.č. 11b

Na obrázku 11a je uveden dilatogram oceli podeutektoidní a na obrázku 11b oceli eutektoidní. Je třeba si uvědomit, že současně probíhají dva děje. Dochází k lineární kontrakci vlivem překrystalizace $\alpha \rightarrow \beta$, ale parametry mřížek se přitom se stoupající teplotou lineárně zvětšují. Obr.č. 12.



obr. č. 12 Závislost parametrů
železa α , β , γ na teplotě.

Dilatometrické metody měření.

Používané metody můžeme rozdělit na dvě skupiny.

1. absolutní
2. relativní

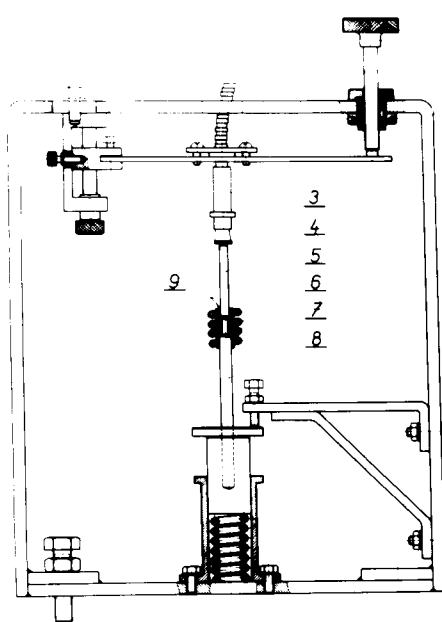
U absolutní metody určování délkové roztažnosti se měří bezprostředně délkové změny vzorků v závislosti na teplotě. U relativní metody se měří prodloužení vzorků v porovnání s prodloužením vzorového etalonu, u kterého je přesně známá závislost délkové roztažnosti na teplotě. Tato závislost musí být zjištěna některou absolutní metodou.

Popis zařízení a způsob měření kterého bylo použito k realizaci zadанého úkolu je následující kapitole.

POPIS ZARIŽENÍ A ZPŮSOB MĚŘENÍ

Popis a měření na dilatometru KMT.

Schema speciálního dilatometru je uvedeno na obr.č. 13.

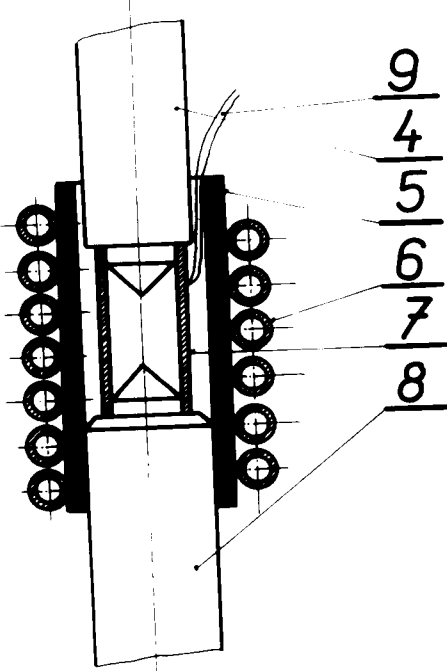


obr.č. 13 Schema speciálního dilatometru.

Hlavní části dilatometru jsou: nosný rám /pos.1/ K němu je mikrometrickým šroubem připojen držák indukčního snímače, indukční snímač délkových změn /pos.3/. Mikrometrický šroub, který umožňuje přesné nastavení indukčního snímače do pracovní polohy /pos.2/. Při měření na tomto dilatometru bylo použito absolutního způsobu měření. Lineární změny vzorku v závislosti na teplotě se určovaly přímo.

Vzorek je umístěn v induktoru mezi dvěma křemennými tyčinkami obr.č. 14, které jsou pro lepší uchycení vzorku opatřeny broušenou válcovou částí. Spodní tyčinka /pos.8/ je pevná a horní /pos.4/ přenáší délkové změny na indukční snímač, o který se opírá. Vzorek je chráněn před motekem s indukční smyčkou křemennou trubičkou. Tato trubička je ještě navíc

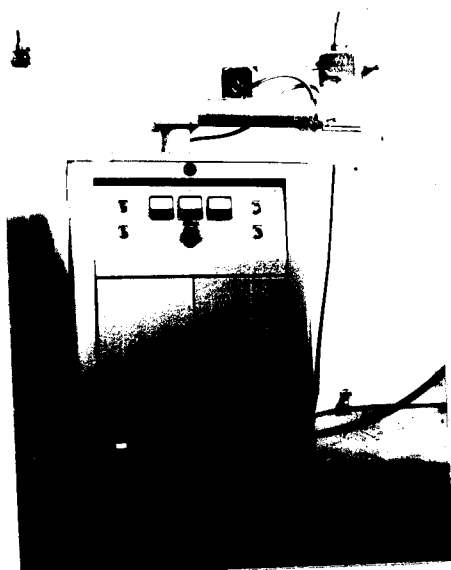
důležitá pro střední vzorku ve smyčce. Deformační signály jsou dále přenášeny na fotografický papír, což bude podrobnejší popsáno dále.



obr. č. 14 Uchycení vzorku
v dilatometru

Popis zařízení

Vzorky byly ohřívány vysokofrekvenčně generátorem typu GV-6A obr. č. 15.



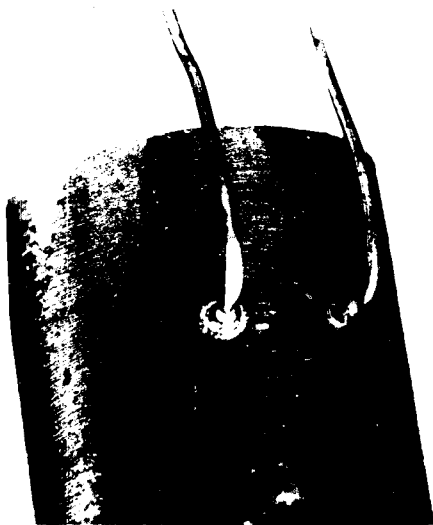
obr. č. 15 Generátor GV-6A

Hloubka ohřívané vrstvy se řídí frekvencí proudu a to tak, že čím vyšší frekvence, tím menší hloubka zahřáté vrstvy. Nákres indukční smyčky a ustanovení vzorku je na obrázku č. 14. Hlavní parametry vysokofrekvenčního generátoru jsou

Maximální výkon	4 kW
Maximální příkon	14 kW
Připojení na síť 50 c/s	3 x 380 V
Kmitočet	3, 4, 5, Mc/s
Regulace vysokofrekvenčního výkonu	4 stupně
Spotřeba chladicí vody	5 l/min.
Váha generátoru	350 kg

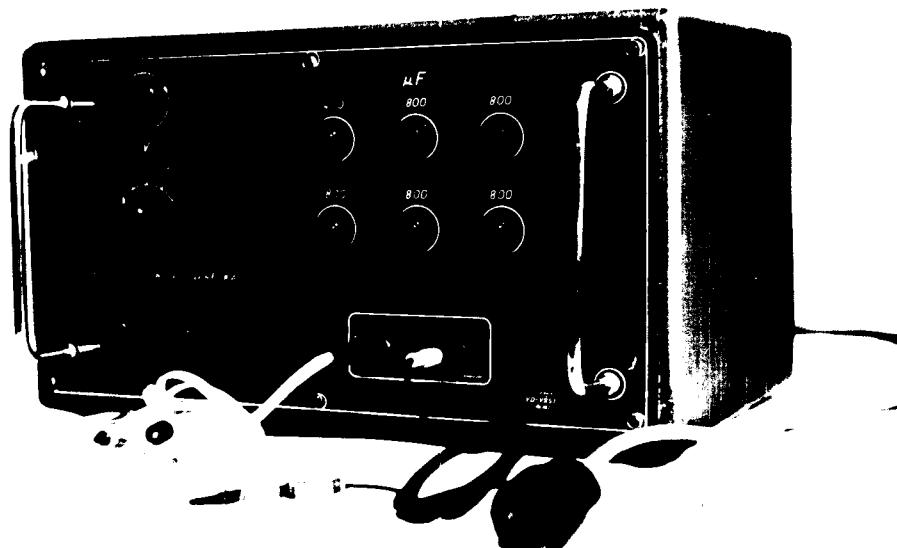
Měření teploty.

V případě tohoto měření bylo pro měření teploty použito termoelektrických článků. Tyto články dobře splňují požadavky kladené na snímání teploty. Jsou to zejména vhodný způsob registrace, málo ovlivňují tepelné pole, mají minimální zpoždění, které se prakticky projevuje až při vysokých rychlostech ohřevu apod. Při měření bylo použito kombinace drátků nikl, chromnikl. Průměr drátek byl 0,2 mm. Jak již bylo řečeno, termočlánky měly minimální setrvačnost. Bylo toho dosaženo vhodným spojením termočlánků se vzorkem. Spojení se provedlo pomocí svaru obr.č. 16. ■ to tak, že každý byl přivařen ke vzorku zvlášť, takže hmota spoje byla minimální. Pro navařování bylo použito kondenzátorové svářečky KMT obr.č. 17.

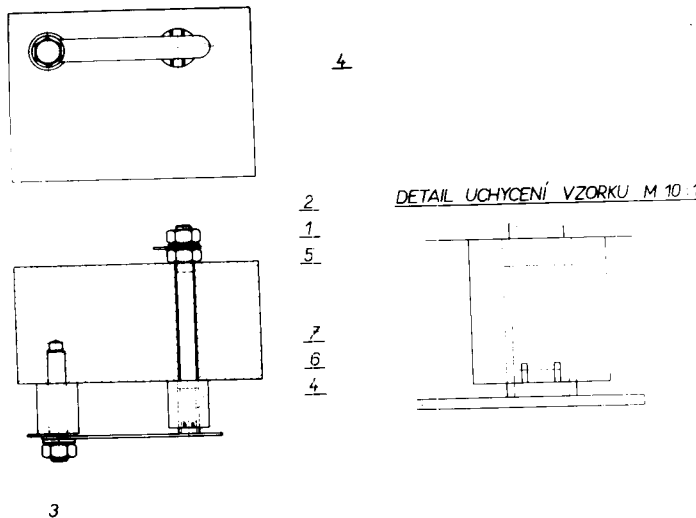


obr.č. 16 Detail přivaření
termočlánku ke vzorku

U této svářečky je možno přestavovat napětí v rozmezí 30 - 70 V s dělením po 10 V a kapacita je přestavitelná v rozmezí 400 - 4400 μF . Při navařování drátků se velmi osvědčil přípravek, který je na obrázku č. 17 u svářečky a samostatně na obrázku č. 18.



obr.č. 17 Kondenzátorová svářečka KMT s přípravkem na
přivařování termočlánků.



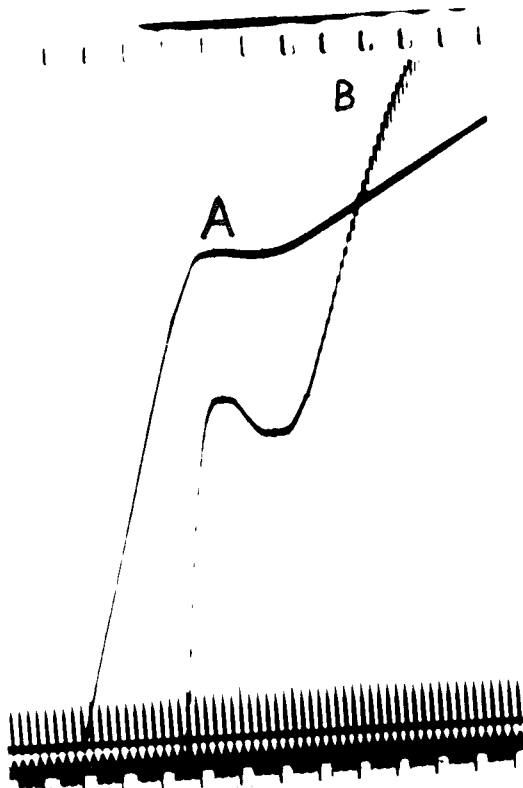
obr.č. 18 Svářecí přípravek na přivařování termočlánků.

Pomocí něho je možno přivařovat drátky do stále stejného místa a to do $3/8$ délky vzorku. Tím je umožněno zaznamenávat průměrnou teplotu vzorku. Tyto poznatky jsou výsledkem práce Macháčka, který se zabýval rozložením teploty podél vzorku v závislosti na rychlosti ohřevu.

Registrace naměřených veličin.

Pro registraci naměřených veličin byl použit třísmyčkový osciloskop 3SO - 101 RFT z NDR. Při měření teploty byl elektrický signál termočlánku veden přes zesilovač TDA - 1A na smyčku osciloskopu. Při manipulaci s termočlánkem bylo nutno zesilovač zkratovat, aby nedošlo k rozladění nastavených hodnot. Délkové změny vzorku byly snímány indukčním snímačem, jak již bylo uvedeno v popisu dilatometru KME. Napěťové změny indukčního snímače byly zesíleny tensometrickou aparaturou TDA - 3 a výstupní signál veden na smyčku osciloskopu. Smyčky pak úměrně přivedenému signálu vychylují odrazová zrcátka, od nichž se odráží světelný paprsek na fotografický papír typu Verphot. Posuv fotografického papíru je

zajištěn motorkem, poháněným stejnosměrným proudem.
 Ryhlost posuvu papíru je měnitelná v určitých mezích pomocí výmenných ozubených kol. Na obr. č. 19 je ukázka oscilogramu, znázorňujícího průběh teploty a deformace vzorku v závislosti na čase.

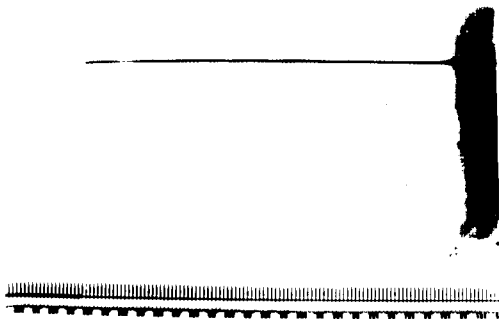


obr. č. 19 Záznam oscilografu.

Křivka A znázorňuje průběh teploty, křivka B průběh deformace. Dole je časová základna, kde jeden dílek představuje $1/50$ vt. Z diagramu je možno velmi jednoduše určit čas a teplotu začátku a konce proměny. Z hlediska přesné registrace teploty bylo lépe pracovat s nezesíleným signálem od termočlánku, ale vhodná smyčka, která by tento signál zpracovávala přímo, nebyla k dispozici.

Aby bylo možno využít záznamy oscilografu bylo nutno stanovit měřítko teploty pomocí cejchování. Cejchování se provádělo v laboratorní elektrické písce. Do pícky byl

vložen vzorek s přivářeným termočlánkem nikl, chromnikl a ohříván. Teplota porovnávacího konce byla 20°C . V různých časových úsecích, které odpovídaly ohřátí pícky zhruba o 30°C , se na kompenzátoru $\pm\text{TK}$ odečítalo napětí v mV. Po odeštení napětí byla pícka vypnuta a proveden oscilografický záznam. Obr.č. 20.

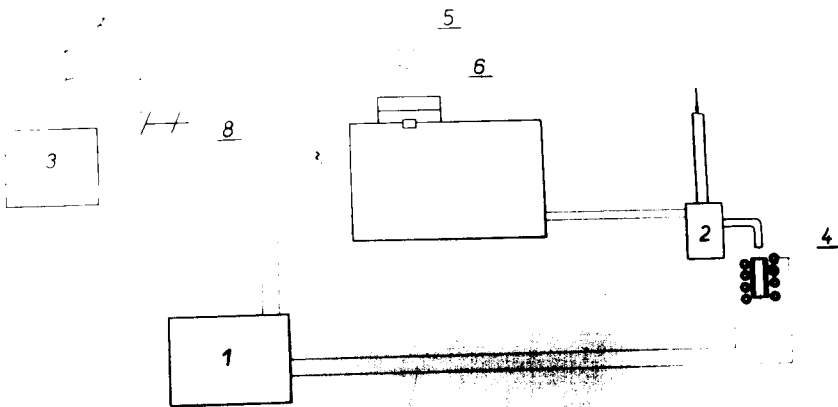


Získané hodnoty byly zaznamenány do tabulky /příloha 1/ a byla z nich sestrojena křivka /cejchovní/, která je uvedena na grafu 4.

Kalení vzorků.

Výsledky průběhu austenitizace, získané na základě oscilogramů, nebylo možno použít pro zjištění stupně austenitizace. Proto se provádělo kalení vzorků do vody. Aby bylo možno ohřáté vzorky zahřát z různých teplot, bylo vyvinuto zařízení, které samočinně zapíná generátor, nechá jej pracovat po předem stanovenou dobu a v okamžiku vypnutí přivádí do

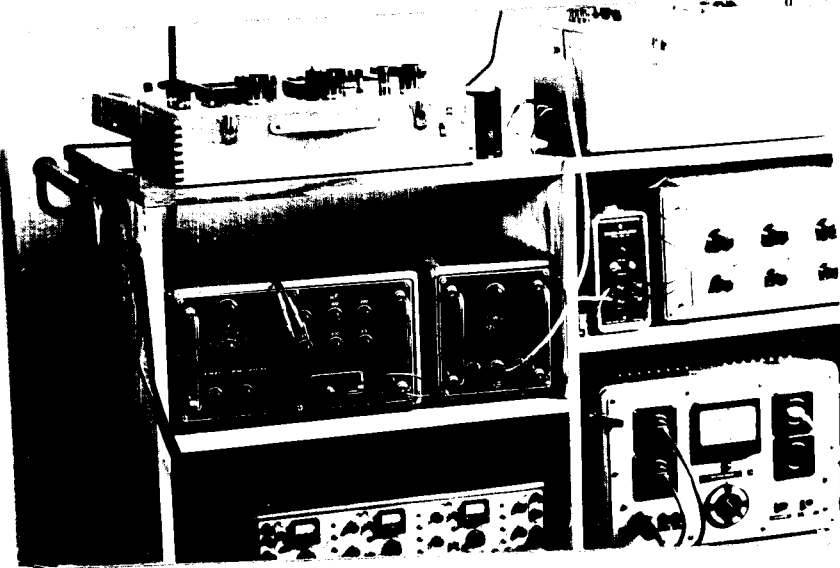
prostoru, kde se nachází vzorek, chladící vodu. Zařízení je schematicky nakresleno na obrázku 21.



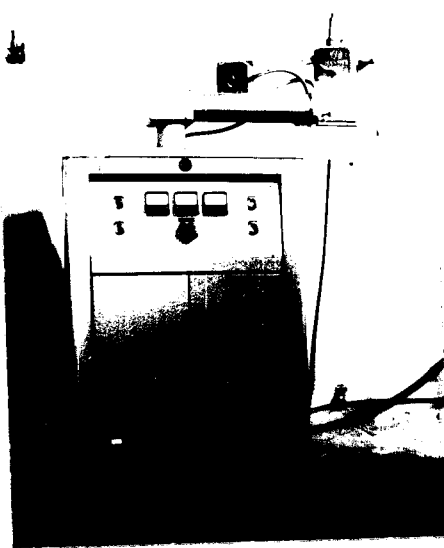
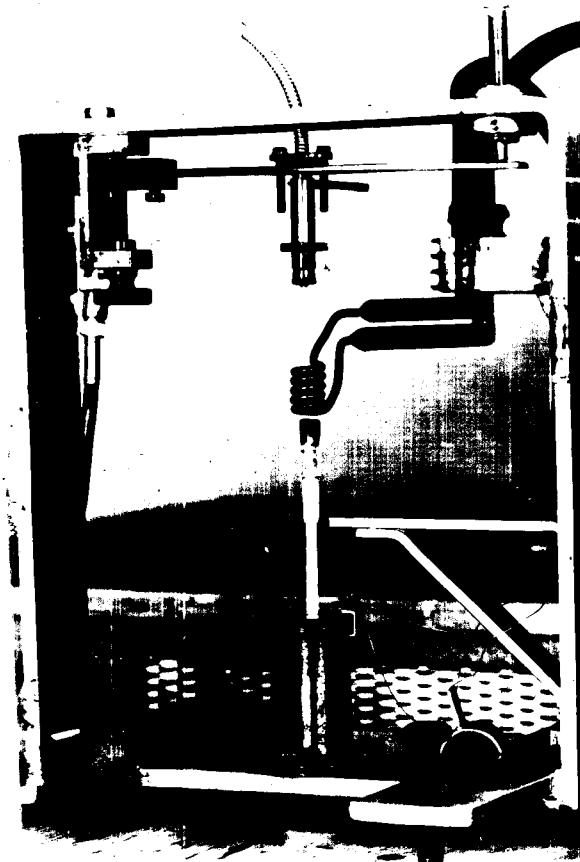
obr.č. 21

Regulace doby chodu generátoru a okamžiku zapnutí elektromagnetického ventilu, který pouští na vzorek chladící vodu, je provedena fotoodporem. Fotoodpor je zabudován ve spínací skřínce a je osvěcován žárovkou. Mezi fotoodporem a žárovkou je fotografická závěrka s regulovatelným časem a clonou. Působením intenzity světelného paprsku a dobou osvícení, což je obojí regulovérce fotografickou závěrkou, vzniká elektrický signál. Tento signál je zpracován releovým systémem, který dává impulsy k zapnutí a vypnutí generátoru. Celkový pohled na měřicí pracoviště je na obrázku č. 22.

CELKOVÝ POHLED NA MĚŘÍCÍ PRACOVIŠTĚ.



Celkový pohled na měřící aparaturu.

Celkový pohled na
generátor GV-6A.

Celkový pohled na dilatometr.

obr.č. 22 Celkový pohled na měřící pracoviště.

VLASTNOSTI A POUŽITÍ PŘIDĚLENÉ OCELI

Pro splnění zadaného úkolu byla přidělena ocel 12081
norma ČSN 419356 udává toto složení:

C 0,7 - 0,8%

Mn..... 0,4 - 0,65%

Si..... max. 0,35%

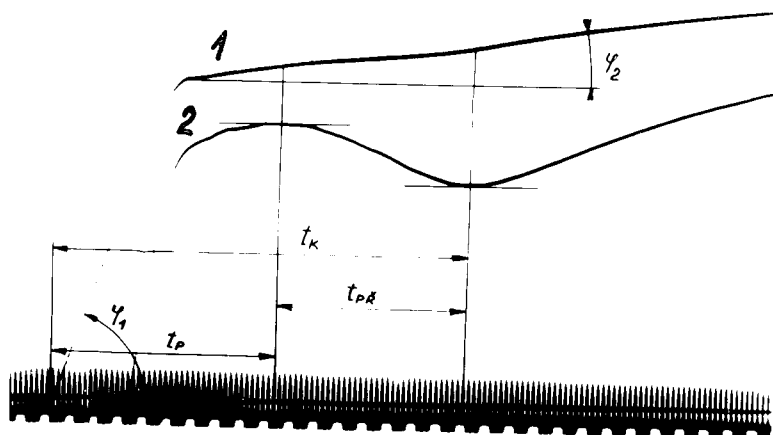
S max. 0,035%

P max. 0,035%

Jako příklad použití udává norma použití na tažené pružiny,
například hodinové, na kalení a zušlechtování.

VYHODNOCENÍ

Dilatometrické záznamy, získané měřením, byly vyhodnoceny způsobem zřejmým z obrázku č. 23, kde křivka č. 1 představuje průběh teploty a křivka č. 2 průběh dilatace.



obr.č. 23

Rychlosť ohřevu je úměrná tangentě úhlu φ a počítáme ji ze vztahu $R = \frac{t}{n \cdot 0,02}$ -

R je rychlosť ohřevu, n je počet délky časové základny a t je teplota bodu ležícího na interpolační čáře, preložené křivkou teploty. Pro uvedený materiál bylo provedeno jedenáct měření. Prvá tři měření, odpovídající nejnižším rychlostem, byla provedena induktorem o větším průměru než zbývajících osm. Vyhodnocování záznamu bylo provedeno takto. Maximum a minimum na křivce dilatací odpovídá počátku a konci přeměny. Tečny vedené k maximu a minimu dilatační křivky, rovnoběžně s časovou základnou, přesně vyznačí bod A_{clp} a A_{clk} a tyto body byly promítnuty na křivku teploty a na časovou základnu. Přitom pod označením A_{clp} rozumíme počátek přeměny A_1 při ohřevu a A_{clk} konec

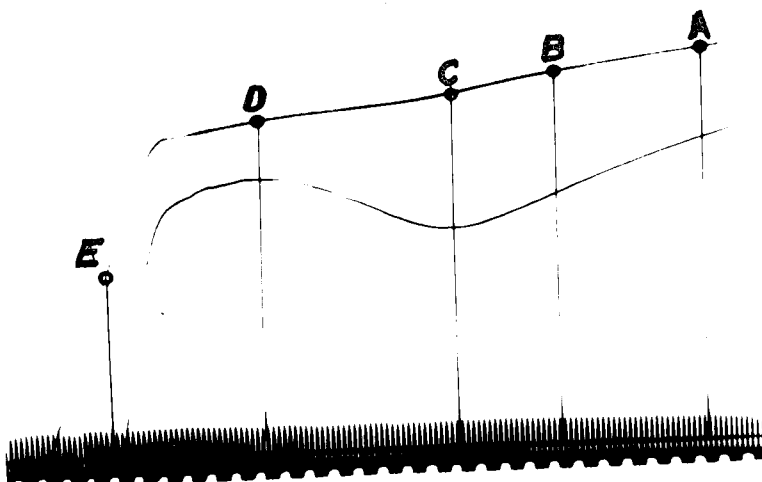
přeměny A_1 při ohřevu. Tímto způsobem byly určeny čas a teplota počátku a konce přeměny. Pro každou rychlosť ohřevu bylo naměřeno pět záznamů. Získané výsledky jsou uvedeny v tabulce 2 až 7, kde jsou uvedeny též průměrné hodnoty. Pro lepší názornost byly některé naměřené hodnoty vyneseny do grafů.

1. závislost teploty začátku a konce přeměny na rychlosti ohřevu, graf č. 1

2. závislost doby trvání přeměny na rychlosti ohřevu, graf č. 2

3. závislost rozdílu teplot mezi začátkem a konec přeměny na rychlosti ohřevu, graf č. 3

Jak již bylo dříve podotknuto, součástí měření bylo též kalení vzorků z různých teplot a vyhodnocování takto vzniklých struktur. Kalení vzorků se provádělo v pěti místech, viz. obr. č. 24.



obr. č. 24

Tabuľka č. 2

číslo výkru	rychlosť otvára	podstrek priesmyk		konec priesmyk		čas / sek-/
		teplota °C	čas / sek./	teplota °C	čas / sek./	
°C / sek.	sek.	°C	sek.	°C	sek.	sek.
II 1900-68-12081	230	750		3,32		
II 1901-68-12081	112	750		3,88		
II 1902-68-12081	249	200	742	3,22	3,685	
II 1903-68-12081	210	730		3,9		
II 1904-68-12081	202	740		4,05		
II 1905-68-12081	445	725		1,75		
II 1906-68-12081	486	760		1,8		
II 1907-68-12081	412	467	760	2,1	1,82	
II 1908-68-12081	510		750		1,62	
II 1909-68-12081	475	765			775	
						775

Tabulka č. 3

číslo worku	výrobce ohřívání	počítadlo $^{\circ}\text{C}$				čas / sek./				konec přípravy			
		$^{\circ}\text{C} / \text{sek.}$	μ	$^{\circ}\text{C}$	μ	sek.	μ	$^{\circ}\text{C}$	μ	sek.	μ	$^{\circ}\text{C}$	μ
■ 1910-68-12081	615			730		1,34		735		2,5			
■ 1911-68-12081	725			750		1,24		762		2,12			
■ 1912-68-12081	702	663		742	729	1,28		755	749	2,37	2,31		
■ 1913-68-12081	550			742		1,52		744		2,72			
■ 1914-68-12081	710			675		0,96		750		1,84			
■ 1915-68-12081	700			750		1,50		775		2,6			
■ 1916-68-12081	635			820		1,46		825		2,36			
■ 1917-68-12081	692	675		715	785	1,12	1,32	765	803	2,3	2,19		
■ 1918-68-12081	770			775		1,2		825		2,03			
■ 1919-68-12081	590			740		1,46		775		2,1			

Tabulka č. 4

číslo vzorku	rychlosť ohrevu °C/sek.	početek priesmy			konec priesmy čas/sek-/ sek.		
		teplota °C	čas/sek./ sek.	teplota °C	čas/sek.-/ sek.	sek.	
■ 1920-68-12081	735	775	1,12	790	1,62		
■ 1921-68-12081	820	730	0,96	760	1,62		
■ 1922-68-12081	660	740	700	735	1,1	1,05	1,66
■ 1923-68-12081	725	700	700	0,94	775	1,72	1,17
■ 1924-68-12081	750	775	775	1,14	800	1,7	1,08
■ 1925-68-12081	950	760	760	1,0	770	1,28	1,1
■ 1926-68-12081	935	735	735	0,88	750	1,2	1,02
■ 1927-68-12081	955	975	740	0,82	760	774	1,02
■ 1928-68-12081	955	700	0,81	800	0,615	800	1,08
■ 1929-68-12081	1080	745	745	0,74	775	775	1,1

Tabulka č. 5

číslo vzorku	rychlosť ohňa	podílek priesmy				koniec priesmy			
		teplota °C	čas/sek.	teplota °C	čas/sek.	teplota °C	čas/sek.	teplota °C	čas/sek.
■ 1930-68-12081	1260	775	0,7	790	1	790	0,92	0,96	
■ 1931-68-12081	1220	750	0,62	795		795	0,92	0,96	
■ 1932-68-12081	1100	725	0,66	780		780	0,94	0,98	
■ 1933-68-12081	1000	750	0,61	795		795	0,94	0,98	
■ 1934-68-12081	860	725	0,76	800		800	0,94	0,98	
■ 1935-68-12081	1140	750	0,62	775		775	0,7	0,75	
■ 1936-68-12081	1480	735	0,52	780		780	0,72	0,75	
■ 1937-68-12081	1360	1350	0,53	776		777	0,74	0,75	
■ 1938-68-12081	1350	740	0,525	780		780	0,64		
■ 1939-68-12081	1460	700	0,44	775		775			

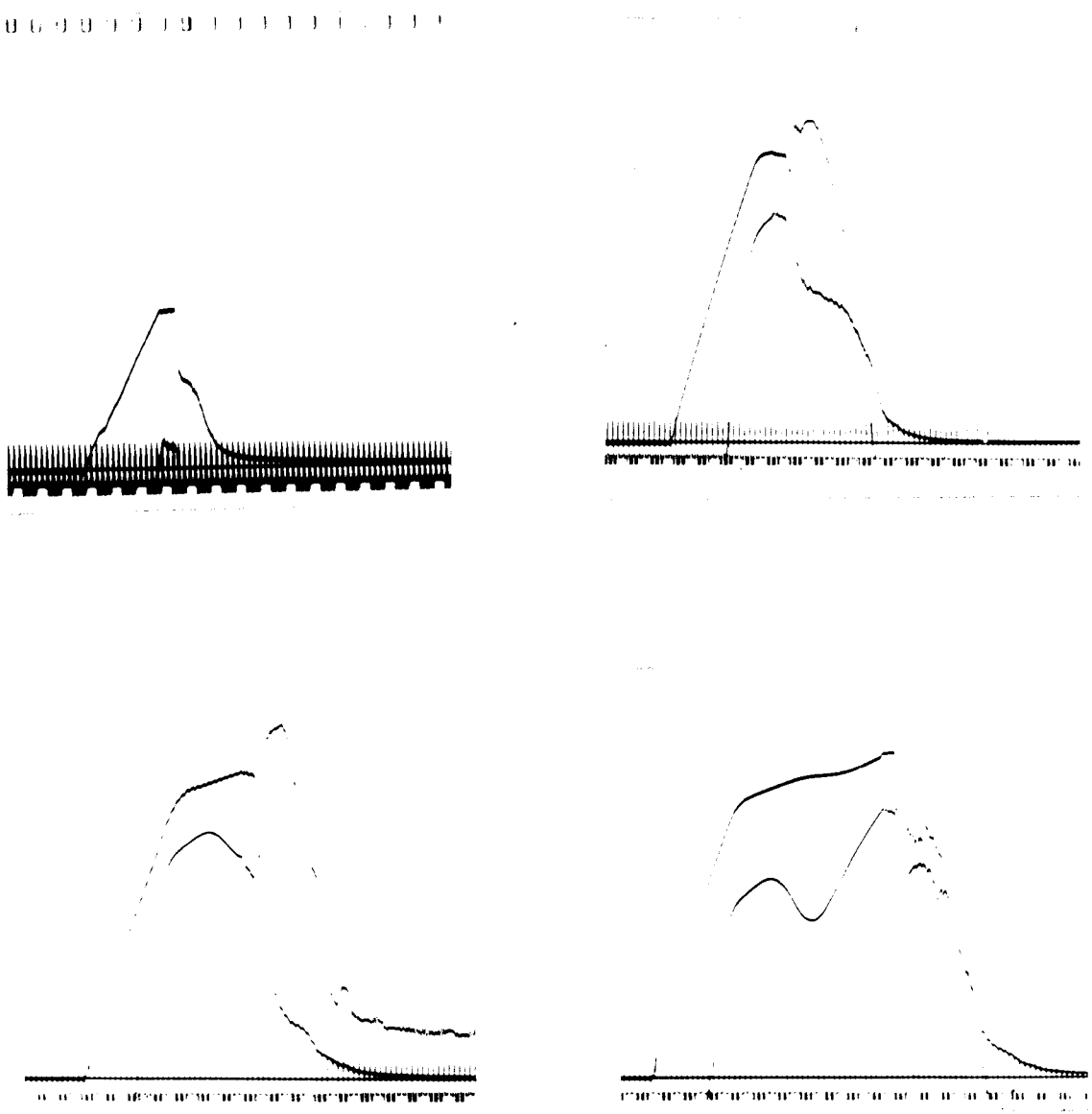
Tabulka č. 6

číslo vzorku	teplota ohřívání °C	teplota °C	poddílek ohřívání		teplota °C	teplota °C	konc.přesmyk mm/mm sek.	konc.přesmyk mm/mm sek.
			°C	sek.				
II 1940-69-12081	1600	760	0,5		790	0,54	0,56	0,4
II 1941-69-12081	1500	775	0,54		790	0,54	0,44	0,44
II 1942-69-12081	1400	725	0,32	0,495	790	0,36	0,36	0,44
II 1943-69-12081	1530	750	0,32		790	0,44	0,44	0,44
II 1945-69-12081	1450	745	0,54		790	0,5	0,5	0,5
II 1946-69-12081	1550	745	0,44		800	0,5	0,58	0,58
II 1947-69-12081	1940	770	0,44		790	0,43	0,525	0,525
II 1948-69-12081	1950	775	0,5		790	0,43	0,54	0,54
II 1949-69-12081	2150	775	0,44		800	0,43	0,56	0,56

Tabulka č. 7

číslo vzorku	rychlosť ohrevu	počítok priesmy				konec priesmy			
		teplota °C	°C	sek.	sek./ μ	teplota °C	°C	sek.	sek./ μ
N 1950-68-12081	3800	765		0,25		800		0,36	
N 1951-68-12081	3100	725		0,26		770		0,4	
N 1952-68-12081	3600	3500	775	0,3	0,27	785	780	0,38	0,37
N 1953-68-12081	3450		775	0,3		800		0,4	
N 1954-68-12081	3450	710		0,24		750		0,34	

Srovnání takto vzniklých struktur poskytlo obraz o postupu austenitizace vzorku. U záznamů byla vyhodnocována rychlosť ohřevu, kalicí teplota, čas zakalení a tvrdost /Hv/. Odečtené hodnoty jsou v tabulce 8 a 9. Příklad kalicích diagramů je na obrázku č. 25.



obr. č. 25

Tabuľka č. 8

číslo vzorku	rychlosť ohřevu		kalenoz teploty	kaleno v čase	tvrdosť Hv	kale- no v bode
	C/sek.	°C/sek.				
N 1900-68-12081 P				odaný stav	242	
N 1901-68-12081 KP				kaleno v peci dle normy	813	
N 1902-68-12081 K	532		502	1012	13,7	910
N 1903-68-12081 K	480			850	6,85	858
N 1904-68-12081 K	538			760	2,3	824
N 1905-68-12081 K	465			725	1,82	387
N 1906-68-12081 K	1240		1155	925	3,13	933
N 1907-68-12081 K	950			760	1,2	800
N 1908-68-12081 K	1250			750	1,05	681
N 1909-68-12081 K	1170			660	0,66	317
N 1910-68-12081 K	1380		1495	925	1,88	1015
N 1911-68-12081 K	1450			850	1,56	964
N 1912-68-12081 K	1525			775	0,82	824
N 1913-68-12081 K	1590			750	0,62	642
N 1914-68-12081 K	1520			720	0,54	299
N 1915-68-12081 K	2100		1770	975	1,3	933
N 1916-68-12081 K	1740			775	0,9	882
N 1917-68-12081 K	1700			750	0,54	409
N 1918-68-12081 K	1530			660	0,44	317

Tabulka č. 9

číslo vzorku	rychlosť ohrevu		kaleno z teploty	kaleno v čase	tvrdosť Hv	kaleno v bodě
	G/sek.	°C/sek.				
N 1919-68-12081 K	2700	2330	975	0,86	1024	A
N 1920-68-12081 K	1960		875	0,78	988	B
N 1921-68-12081 K	2330		850	0,6	953	C
N 1922-68-12081 K	2830		850	0,38	363	D
N 1923-68-12081 K	1975		500	0,42	304	E
N 1924-68-12081 K	2650	2600	940	0,92	1187	A
N 1925-68-12081 K	2800		825	0,46	1132	B
N 1926-68-12081 K	2630		800	0,52	1048	C
N 1927-68-12081 K	2600		750	0,42	1003	D
N 1928-68-12081 K	2500		725	0,38	301	E

Označení fotografií se shoduje s označením v tabulce s označením vzorků, negativů a oscilogramu. V tabulce 8 a 9 jsou u některých rychlostí pouze čtyři záznamy. Je to způsobeno tím, že ne vždy se povedlo zakalit vzorek v předem určeném místě a jelikož cílem bylo vyhodnotit pouze typické a přesné záznamy, došlo k této nesrovnalosti. Ještě na vysvětlení symbolů užitych v tabulce a u fotografií struktur. Například u označení N-1910-68-12081-K je N číslo státního úkolu, 1910 pořadové číslo materiálu a číslo vzorku, 68 školní rok a 12081 použitý materiál dle ČSN. Písmeno K značí, že jde o kalený, písmeno P dodaný stav a KP značí, že vzorek byl kalen v peci. Struktura dodaného materiálu je perlitická s jemným lamelárním perlitem. U všech struktur se projevuje řádkovitost, což je patrně vlivem předchozího mechanického zpracování. Nyní blíže k jednotlivým strukturám. Struktura dodaného materiálu byla již popsána. Struktura vzorku kaleného po ohřevu v peci je typicky martensitická s jemnými, až středně hrubými jehlicemi martensitu. Struktura vzorků

N 1918-68-12081 K

N 1923-68-12081 K

N 1909-68-12081 K

je lamelárně perlitická a odpovídá dodanému stavu.

Ve struktuře vzorků

N 1914-68-12081 K

N 1928-68-12081 K

se kromě lamelárního perlitu objevily i malé dvorce velmi jemného perlitu /troostitu/. Je to patrně způsobeno tím,

že vzorky byly zakaleny z poněkud vyšší teploty, než
vzorky předchozí, zhruba z teploty přeměny A_1 . Na fotogra-
fích číslo

N 1905-68-12081 K

N 1908-68-12081 K

N 1913-68-12081 K

N 1922-68-12081 K

N 1927-68-12081 K

vidíme martensit, lamelární perlit a velmi jemný lamelár-
ní perlit /troostit/, který se jeví jako tmavší chraniče-
né dvorce. Z této skupiny vzorků byla většina zakalena
z teploty 750°C. Struktury vzorků číslo

N 1903-68-12081 K

N 1907-68-12081 K

N 1911-68-12081 K

N 1916-68-12081 K

N 1920-68-12081 K

N 1925-68-12081 K

jsou martensitické. Je to jemný martensit s drobnými
jehlicemi. Vzorky číslo

N 1902-68-12081 K

N 1906-68-12081 K

N 1910-68-12081 K

N 1915-68-12081 K

N 1924-68-12081 K

mají strukturu martensitickou s jemnými a středně hrubými
jehlicemi martensitu. V případě vzorku N 1902-68-12081 K
jde o jehlice poněkud hrubší, ale ani tady se nejedná
o strukturu zkrublou, nebo nepoužitelnou.

Struktura vzorku

N 1904-68-12081 K

je martensitická s velmi jemnými jehlicemi martensitu.

Struktura vzorků

N 1912-68-12081 K

N 1917-68-12081 K

N 1921-68-12081 K

je složena s martensitu, lamelárního perlitu a velmi jemného lamelárního perlitu /troostitu/.

Struktura vzorku

N 1926-68-12081 K

je martensitická s velmi jemnými jehlicemi martensitu.

Tyto naposled uvedené vzorky byly zařazeny do jedné skupiny, a tím dostáváme šest skupin vzorků, jejichž umístění bylo provedeno podle dvou hledisek:

1. na základě podobnosti struktur
2. podle tvrdosti

Nyní budou jednotlivé skupiny zhodnoceny podle těchto uvedených hledisek.

První skupina vzorků měla strukturu uvedenou v předchozím textu a průměrná tvrdost byla kolem 300Hv. U druhé skupiny byla tvrdost v těchže mezích, ale poněkud se lišila strukturou. U třetí skupiny byla tvrdost průměrně 615 Hv.

U vzorku N 1905 /v dalším budeme používat pouze tohoto zkráceného označení vzorku / a u vzorku N 1912 je tvrdost poměrně nízká. Je to patrně tím, že byly zakaleny na počátku přeměny a jak je patrno z fotografií struktur je obsah

martensitu mnohem nižší, než u ostatních vzorků této skupiny. Rozptyl hodnot tvrdosti je dán pravděpodobně tím, že vzorky byly zakaleny mezi A_{clp} a A_{clk} a nelze přesně označit místo. Průměrná tvrdost čtvrté skupiny je 950 Hv a páté skupiny 960 Hv. Ze šesté skupiny vzorků je struktura vzorku N 1904, jak již bylo řečeno martensitická a odpovídá tvrdosti vzorku zakaleného z peci. Tento vzorek by se dal zařadit i do skupiny čtvrté, ale z tabulky vidíme, že byl zakalen v jiném bodě. Jde patrně pouze o chybu v měření, ale jelikož jsou struktury a tvrdosti všech vzorků popsány, není tak důležité do které skupiny je zařazen. Další tři vzorky této skupiny mají stejnou strukturu, ale rozdílné tvrdosti, a proto byly též zařazeny zvláště. Poslední vzorek má martensitickou strukturu s jemnými jehlicemi martensitu a tvrdost podstatně vyšší, než po zakalení v peci. Tento jev je zvláště markantní u poslední rychlosti ohřevu, kde tvrdost vzorků je vyšší o 300 až 350 Hv proti tvrdosti po zakalení z peci. V této kapitole bylo popsáno jakým způsobem se naměřené hodnoty vyhodnocovaly. Tabulky vyhodnocených hodnot jsou pro lepší přehlednost zařazeny v kapitole. Fotografie struktur a diagramy jsou v příloze. Zhodnocení výsledků bude v další kapitole.

DISKUSE VÝSLEDKU

V předchozí kapitole bylo popsáno vyhodnocování austenitizačních křivek jako prvé a toto pořadí bude dodrženo i v této kapitole. V diagramu č. 1, který je uveden v příloze, je závislost teploty počátku a konce přeměny v závislosti na rychlosti ohřevu. U prve rychlosti nemohl být vyhodnocen konec přeměny, protože vzorek se neohřál na dostatečnou teplotu, aby přeměna proběhla. Z grafu je vidět značný rozptyl naměřených hodnot. Tento rozptyl je největší zhruba mezi $600-800^{\circ}\text{C}/\text{sek.}$, kde je také maximum rozdílu teplot mezi počátkem a koncem překrystalizace. Dle bodů vynesených v diagramu se lze pouze domnívat o některých obecných zákonitostech přeměny $\alpha \rightarrow \gamma$ pro tuto ocel. Zhruba se dá říci, že od rychlosti $2300-2500^{\circ}\text{C}/\text{sek.}$ se teplotní interval již nezvětšuje a že je patrně konstantní. To by potvrzovalo domněnku, že přeměna bude probíhat bezdifusně, to znamená, že při takto vysokých rychlostech ohřevu je časový interval /tato závislost je na grafu č. 2/ počátku a konce přeměny tak malý a rychlosť difuze relativně také tak malá, že zvětšení teplotního intervalu by stejně neusnadnilo difusní přeměnu. Bylo zde již poukázáno na graf č. 2. Tento graf závislosti trvání doby přeměny na rychlosť ohřevu tuto domněnku jen potvrzuje. Křivka doby trvání přeměny na rychlosť ohřevu je totiž od rychlosť přibližně $2300^{\circ}\text{C}/\text{sek.}$ konstantní. Z předcházejícího plyne: je-li od určité rychlosť ohřevu doba trvání přeměny na ní nezávislá a zároveň nedochází ke zvyšování teplotního intervalu mezi A_{clp} a A_{clk} , pak přeměna nemůže probíhat pouze jednoduchou difusní cestou.

Tento závěr se zdá obecně platný a to nejen pro tuto ocel, jak vyplynulo z podobných prací. Pouze teplota, při které k tomuto jevu dochází, se u různých ocelí liší. Na grafu č. 1 byla naneseny body, znázorňující počátek a konec přeměny, proložena křivka. Nedá se objektivně posoudit, zda proložení křivek je či není opodstatněné. Graf je však přesný /v rámci možností/ a naměřené hodnoty lze odcítit z příslušných bodů tvořících rozptyl kolem křivek. Jestliže se totiž do grafu vnesou místo průměrných hodnot hodnoty jednotlivých měření, pak se stane graf mnohem nepřehlednější a pozbude jakékoliv závislosti mezi jednotlivými hodnotami. Jediné možné vysvětlení tohoto jevu je, že na precisi osvětlení problému by bylo třeba mnohem více hodnot, které by pak dávaly odpovídající hodnotu průměrnou. Bohužel měření je prakticky neopakovatelné, neboť i když je na generátoru nastavena stále stejná rychlosť ohřevu, je vlivem napěťových a proudových změn každý ohřev proveden jinou rychlosťí. Na grafu č. 3 je vynesena závislost mezi rychlosťí ohřevu a rozdílem teplot počátku a konce přeměny. Křivka č. 1 na grafu znázorňuje závislost intervalu naměřeného a křivka č. 2 znázorňuje interval teplot odceteny z grafu č. 1 mezi proloženými křivkami počátku a konce přeměny. Křivka č. 2 byla nakreslena pouze proto, aby potvrdila oprávněnost proložení křivek. Je vidět, že křivky mají někud podobný tvar, ale jsou vůči sobě posunuty. Podle křivky č. 2 se posouvá maximum teplotního rozdílu směrem doprava k rychlosći ohřevu asi o $300^{\circ}\text{C}/\text{sek.}$ vyšší. Nejdůležitější ovšem je, že u obou křivek se jeví výrazné maximum a minimum, a že tudíž od určité rychlosťi ohřevu

nenastává zvětšování teplotního intervalu mezi A_{clp} a A_{clk} . Tento poznatek jen potvrzuje teorii o bezdifuzní přeměně při vyšších rychlostech. Dá se říci, že při takovýchto rychlostech ohřevu neplatí rovnovážný diagram Fe-Fe₃C. Počátek a konec přeměny eutektoidní oceli je podle rovnovážného diagramu v jednom bodě a při vysoké rychlosti ohřevu se tento bodový interval rozšíří až na 80°C. Další měření, které bylo prováděno, bylo kalení vzorků a vyhodnocování vzniklých struktur. Struktury byly popsány v kapitole předchozí a dá se říci, že nepotřebují bližšího objasnění. Fotografie nejsou příliš kvalitní a podrobnější údaje o strukturách jsou mimo možnosti této práce. Snižená kvalita fotografií je dána tím, že fotografie byly pořízeny epitipem a leptání struktur bylo velmi obtížné.

Názornější bude, zabývat se podrobněji tvrdostmi, které jsou spolehlivým údajem o zakalení vzorků. Z tabulek je vidět, že tvrdosti vzorků zakalených ve stejných místech stoupají se zvyšující ^{rychlosť} ohřevu. Nejdůležitějším poznatkem je, že tvrdost u vyšších rychlostí ohřevu je vyšší a to podstatně vyšší, než při ohřevu v peci a po zakalení. Nejpravděpodobnější vysvětlení tohoto jevu je toto:

u každé zakalené oceli i při správném zakalení se vyskytuje zbytkový austenit. Při normálním kalení se pohybuje obsah zbytkového austenitu asi kolem 5%. Při indukčním ohřevu, vzhledem k vysokých rychlostem ohřevu, nedojde k úplné homogenizaci austenitu a proto je zbytkového austenitu v těchto ocelích podstatně méně. Je možno tvrdit, že austenit není při těchto kritických rychlostech ohřevu stabilizován a snáze

se přemění na martensit. Tato problematika je v podstatě otázkou stabilizace austenitu. Další věc je, že při indukčním klení v důsledku rychlých ohřevů a ochlazování vznikají velká vnitřní pnutí. Tato pnutí usnadňují průběh martensitické přeměny. Tvrdost je potom značně vysoká, ale již ohřevem na nízké teploty skolem 200°C rychle klesá. Stabilizace austenitu úzce souvisí s krystalizačními zárodky. Pouze po rozpuštění krystalizačních zárodků, okolo kterých se koupí poruchy, dostaneme stabilní austenit. Tento problém není zdaleka tak jednoduchý jak zde bylo řešeno a zvýšení tvrdosti při rychlém ohřevu může a nemusí být výsledkem této úvahy. Cílem práce bylo vyhodnotit výsledky měření při indukčním ohřevu a závěry získaná měřením je jěště nutno důkladně ověřit dalším výzkumem.



N 1918-68-12081 K



N 1923-68-12081 K



N 1909-68-12081 K



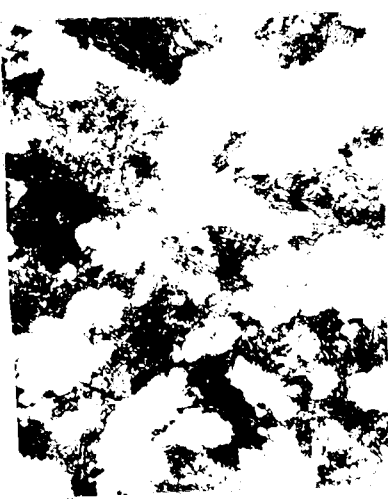
N 1914-68-12081 K



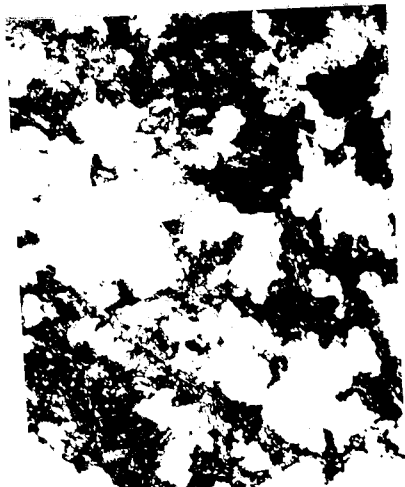
N 1928-68-12081 K



N 1905-68-12081 K



N 1908-68-12081 K



N 1913-68-12081 K



N 1922-68-12081 K



N 1927-68-12081 K



N 1903-68-12081 K



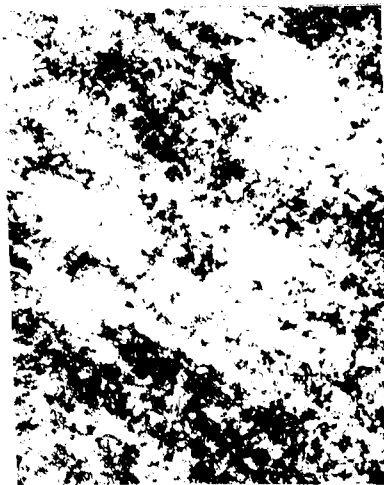
N 1907-68-12081 K



N 1911-68-12081 K



N 1916-68-12081 K



N 1920-68-12081 K



N 1925-68-12081 K



N 1902-68-12081 K



N 1906-68-12081 K



N 1910-68-12081 K



N 1915-68-12081 K



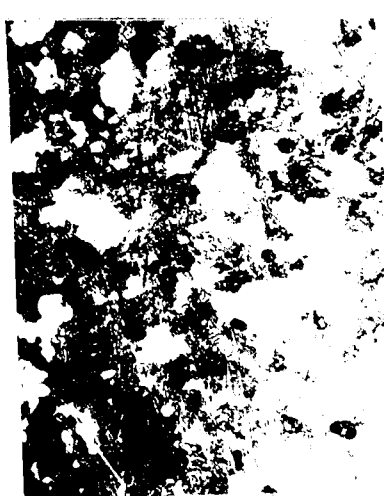
N 1924-68-12081 K



N L904-68-12081 K



N 1912-68-12081 K



N 1917-68-12081 K



N 1921-68-12081 K



N 1926-68-12081 K



N 1900-68-12081 P



N 1901-68-12081 KP

ZÁVĚR

V závěru své diplomové práce bych chtěl poděkovat
Doc. ing. Kořínskovi CSc., ing. Chaloupeckému,
ing. Grohovi a celému kolektivu KMT za všeestrannou
 pomoc a věcné připomínky ke své práci.

V Liberci 17.6.1968.

Jiří Novák

SEZNAM POUŽITÉ LITERATURY

1. JAREŠ, V. : Metalografie neželezných kovů. Nakl. ČSAV, Praha 1955.
2. JAREŠ, V. : Metalografie ocele. Nakl. ČSAV, Praha 1960.
3. PÍŠEK, F. : Nauka o materiálu I. Nakl. ČSAV, Praha 1957.
4. PÍŠEK, F. : Nauka o materiálu II/2. Nakl. ČSAV, Praha 1957.
5. PÍŠEK, F. - JENÍČEK, L. - RYŠ, P. : Nauka o materiálu I. Nakl. ČSAV, Praha 1966
6. PLUHAR, J. - KORITTA, J. : Strojírenské materiály SNTL/SVTL, Praha 1966.
7. KOŘÍNEK, M. : Problémy rychlých ohřevů oceli a automatizace strojírenské výroby. "Strojírenství" I. 1964, str. 35
8. JECH, J. : Praktická metalografie "Strojírenská výroba" svazek 13/1965 č. 5 SNTL.
9. BAŠNIN, KIDIN: Izvestija vyšších učebnych zavěděníj č. 9 - metalurgizdat 1960.

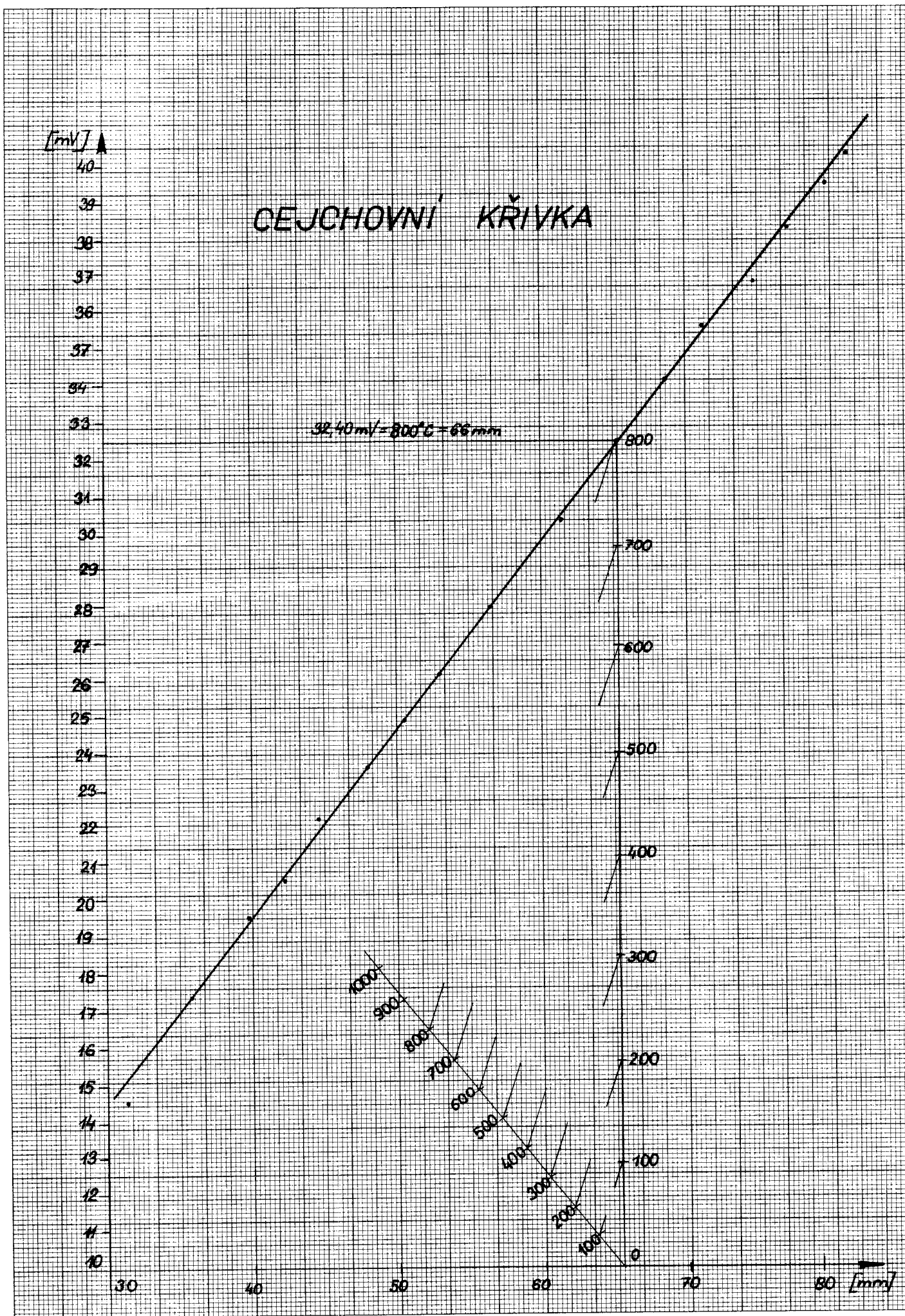
SEZNAM PŘILOH

1. OSCILOGRAFICKÉ ZÁZNAMY
2. NEGATIVY STRUKTUR
3. VZORKY

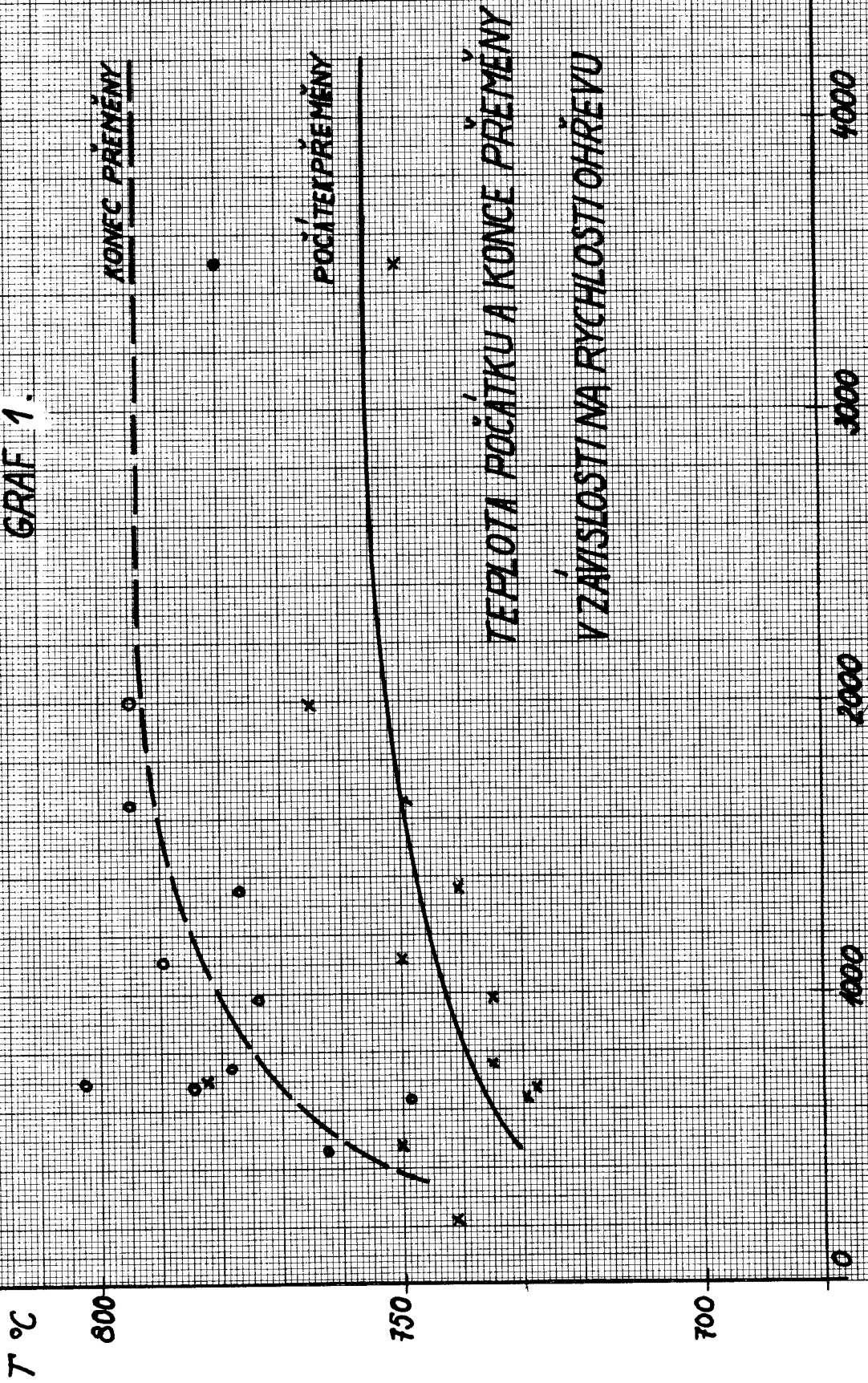
TABULKA Č.4

TEPLOTA STUDENÉHO SPOJE 20°C

m	14,63	17,41	19,48	20,67	22,20	23,62	24,85	26,12	27,98	30,37	32,40	34,10	35,60	36,83	38,25	39,53	40,38
mm	31,50	36	40	42,50	45	48,50	51	53,50	57	62	66	69,50	72	75,50	78	80,50	82



GRAF 1.



sek.

GRAF ZÁVISLOSTI DOBY TRVÁNÍ
PŘEMĚNY NA RYCHLOSTI
OHŘEVU

2

0

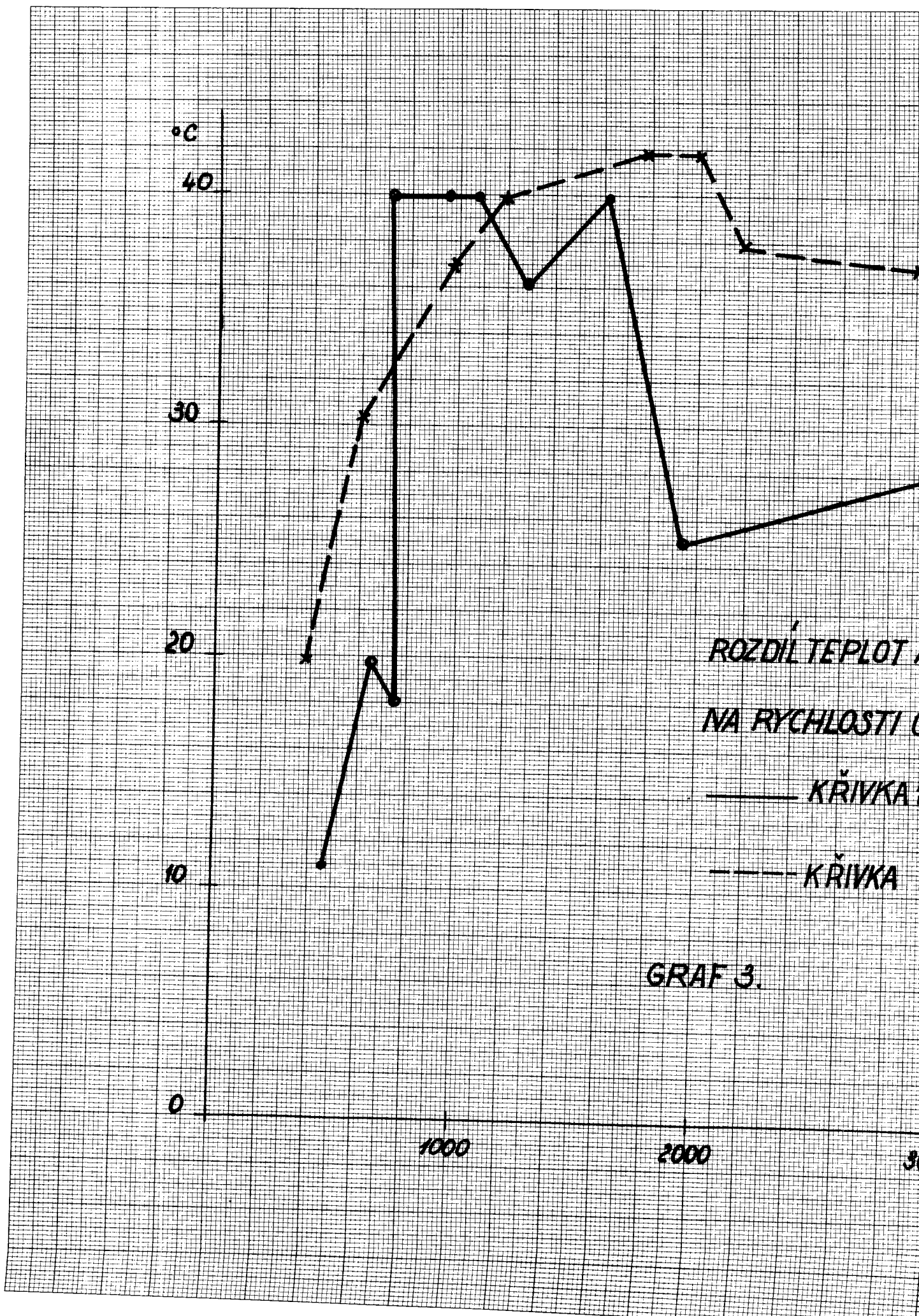
1000

2000

3000

°C/sek

GRAF 2.



ROZDÍL TEPLOT
NA RYCHLOSTI

— KRIVKA
--- KRIVKA

GRAF 3.

A/A_{cik} V ZÁVISLOSTI
NA ŘEVU

20

4000 °C/sek